



# БИООРГАНИЧЕСКАЯ ХИМИЯ

том 10 \* №11 \* 1984

УДК 547.857.7'522.06

## НОВЫЙ МЕТОД КОЛИЧЕСТВЕННОГО ОПРЕДЕЛЕНИЯ ПОЛОЖЕНИЯ СИН-АНТИ-РАВНОВЕСИЯ В РАСТВОРЕ ПУРИНОВЫХ НУКЛЕОЗИДОВ И НУКЛЕОТИДОВ

Завгородний С. Г., Флорентьев В. Л.\*

Институт молекулярной биологии Академии наук СССР, Москва

Предложен простой метод определения относительного веса син-популяции в растворе пуриновых нуклеозидов и нуклеотидов, основанный на трех параметрах спектров ЯМР: разности химических сдвигов  $\text{H}2'$  и  $\text{H}3'$ , константе спин-спинового взаимодействия  $J_{1'2'}$  и сумме констант  $J_{4'5'a}$  и  $J_{4'5'b}$ . Метод обладает достаточной универсальностью. Он применим к пуриновым нуклеозидам, 5'-дезоксицуклеозидам, 5'-нуклеотидам, включая да- и трифосфаты, 2'- и 3'-нуклеотидам, 3', 5'- и 2', 3'-цикло-нуклеотидам, содержащим как природные нуклеиновые основания, так и модифицированные по положениям 2, 6 и 8. Положенная в основу описанного метода модель может быть распространена на модифицированные по сахару и пиrimидиновые нуклеозиды.

Положение син-анти-равновесия является наиболее важным аспектом конформационной ситуации в растворе нуклеозидов и нуклеотидов. Очевидно, что, поскольку гликозидная конформация в значительной степени определяет химические и физические свойства таких соединений, именно к ней обращаются исследователи в своих далеко не всегда успешных попытках связать биологические свойства нуклеозидов с их конформационным поведением.

В настоящее время в динамическом конформационном анализе нуклеозидов и нуклеотидов наблюдается острый дефицит простых и достаточно универсальных методов определения относительного веса гликозидных популяций. Методы, основанные на круговом дихроизме [1] или константах скалярного спин-спинового взаимодействия (КССВ)  $\text{H}1'$  и ядер  $^{13}\text{C}$  в положениях 2 и 6 пиридиновых или положениях 8 и 4 пуриновых нуклеозидов [2], позволяют получить лишь качественную информацию. Для количественного определения используют скорости спин-решеточной релаксации протонов [3], ядерный эффект Оверхаузера [2, 4] и возмущение спектров ЯМР в присутствии ионов лантанидов [2, 5]. Однако эти методы предъявляют жесткие требования к подготовке образца, весьма трудоемки и сопряжены с обработкой результатов на ЭВМ. Кроме того, применение релаксационных методик ограничено 8-незамещенными пуриновыми или 6-незамещенными пиридиновыми соединениями, а применение лантанидов — нуклеотидами.

Заманчиво использовать для определения доли син-популяции положение и мультиплетность сигналов протонов. Современные спектрометры ЯМР позволяют определить химические сдвиги и КССВ быстро и с высокой точностью в широком интервале концентраций и температур при относительно мягких требованиях к частоте и подготовке образца.

Однако если релаксационные методики базируются на хорошо разработанной, изящной теории, то количественный расчет химических сдвигов, несмотря на интенсивные исследования в этой области (см., например, [6, 7]), все еще остается делом будущего. В настоящее время можно с уверенностью говорить лишь о характере зависимости химических сдвигов от конформационных параметров. Поэтому использование химических сдвигов возможно лишь на эмпирической основе.

\* Корреспонденцию просим адресовать указанному автору.

Впервые попытку такого рода предприняла еще в 1960 г. К. Джардettская [8]. Для качественной оценки положения *син-анти*-равновесия она использовала зависимость химического сдвига  $H_8$  пуриновых 5'-нуклеотидов от pH. Несмотря на очевидные недостатки и ограниченную применимость (только к 5'-нуклеотидам), этот метод широко использовался в 60-е годы, хотя и тогда уже было ясно, что химические сдвиги протонов сахарного кольца более информативны. С появлением более совершенных спектрометров и методов симуляции спектров определение химических сдвигов протонов углеводного цикла превратилось из сложной, не всегда решаемой задачи в рутинную процедуру. Благодаря в основном работам Швейцера с сотр. [9] были выявлены основные эмпирические закономерности влияния анизотропии пуринового цикла на химические сдвиги протонов рибозы:

- 1) основной вклад в дезэкранирование протонов рибозы вносит N3-атом пуринового цикла;
- 2) замещение при C2 и C6 практически не сказывается на химических сдвигах протонов рибозы;
- 3) заместители в положении 8 непосредственно влияют лишь на химический сдвиг  $H_1'$ , на остальные же протоны — опосредованно, через сдвиг конформационного равновесия;
- 4) увеличение доли *син*-популяции проявляется в сильном дезэкранировании  $H_2'$ ; химические сдвиги  $H_3'$ ,  $H_4'$  и  $H_5'$  меняются незначительно (обычно слегка уменьшаются).

Таким образом, положение сигнала  $H_2'$  в принципе может служить мерой соотношения *син-* и *анти*-популяций. Однако химический сдвиг  $H_2'$  зависит не только от положения *син-анти*-равновесия, но и от величины гликозидного угла в *син-* и *анти*-области, конформации рибозы и 5'-CH<sub>2</sub>OH-группы, природы заместителей в нуклеиновом основании, растворителя и т. д. и поэтому годится лишь для качественной оценки относительного веса гликозидных конформаций. Одна из возможностей перехода на количественный уровень заключается в использовании разности химических сдвигов ( $\Delta\delta$ )  $H_2'$  и какого-либо протона, который в общем случае может и не принадлежать исследуемой молекуле. Поведение  $\Delta\delta$  должно удовлетворять следующим требованиям:

- 1) сама  $\Delta\delta$  должна сильно зависеть от положения *син-анти*-равновесия;
- 2) влияние конформации других частей молекулы (сахар, эзоциклическая группа) на  $\Delta\delta$  должно поддаваться количественному описанию;
- 3) смена растворителя и замещение в нуклеиновом основании не должны существенно изменять  $\Delta\delta$ .

До настоящего времени были предприняты две попытки использовать  $\Delta\delta$  для описания конформационного поведения пуриновых нуклеозидов [10—12]. Следует сразу отметить, что обе эти попытки были скорее полуинтуитивными, не основанными на осмысленной физической модели. В первой попытке во главу угла положена разность химических сдвигов  $H_1'$  и  $H_2'$  [10]. Нетрудно видеть, что выбор сигнала сравнения неудачен, поскольку химический сдвиг  $H_1'$  непредсказуемо зависит от заместителей в пуриновом цикле (особенно по положению 8) и растворителя. Неудивительно, что авторам пришлось ограничиться констатацией факта, что величина  $\Delta_{1',-2'}$  больше 1 м.д. соответствует преобладанию *анти*-, а меньше 1 м.д. (~0,7 м.д.) — *син*-популяции. Неудивительно также, что применимость этого правила оказалась весьма ограниченной. Сошлемся хотя бы на 8-сульфопроизводные аденоцина [13], для которых преобладание *син*-популяции проявляется в увеличении  $\Delta_{1',-2'}$  до 1,2—1,5 м.д.

Вторая попытка основывалась на разности химических сдвигов  $H_2'$  исследуемого и «стандартного» соединений [11, 12]. Авторы полностью игнорировали влияние на  $\Delta_{2',-2'}$  конформации рибозы, ошибочно относя его к эффектам второго порядка. Кроме того, этому подходу внутренне присуща неоднозначность в выборе «стандартного» соединения.

На наш взгляд, удобной мерой относительного веса *син*-популяции может служить разность химических сдвигов  $H_2'$  и  $H_3'$ . Этот параметр

наилучшим образом удовлетворяет перечисленным выше требованиям. Он так же сильно зависит от изменения константы *син*-*анти*-равновесия, как и химический сдвиг  $\text{H}2'$ . Характер зависимости  $\Delta\delta_{2'-3}$  от конформации углеродного цикла и  $5'$ - $\text{CH}_2\text{OH}$ -группы легко вывести из общих стереохимических соображений. Наконец, принадлежность  $\text{H}2'$  и  $\text{H}3'$  одной исследуемой молекуле, их пространственная близость и сходный характер окружения позволяют надеяться, что и третье требование будет удовлетворяться достаточно хорошо.

В дальнейшем для удобства мы будем обозначать разность химических сдвигов  $\text{H}2'$  и  $\text{H}3'$  символом  $\alpha$ .

Учитывая, что химические сдвиги  $\text{H}2'$  и  $\text{H}3'$  зависят от конформаций нуклеинового основания, рибозного цикла и оксиметильной группы, следовало бы рассмотреть равновесие по крайней мере 12 конформеров. В приближении быстрого обмена экспериментально наблюдаемая разность химических сдвигов  $\text{H}2'$  и  $\text{H}3'$

$$\alpha = \sum_{i=1}^{i=12} \alpha^i p^i,$$

где  $\alpha^i$  — параметр  $i$ -го конформера, а  $p^i$  — его мольная доля. По обсуждавшимся выше причинам параметры  $\alpha^i$  можно определить лишь эмпирически. Подбор столь большого числа параметров делает поставленную задачу практически неразрешимой. Необходимо путем разумных приближений сократить число параметров.

Рассмотрим сначала зависимость  $\alpha$  от конформации рибозного цикла и нуклеинового основания. В  $\text{C}3'$ -*эндо*-конформации ( ${}^3E$ ) рибозы атом  $\text{N}3'$  расположен на аксиальной связи, а атом  $\text{H}2'$  — на экваториальной. Первый приближен к нуклеиновому основанию, а второй удален (расстояние от атома  $\text{N}3$  в *син*-конформации до атома  $\text{N}3' \sim 2,5$ , а до  $\text{H}2' \sim 3,6$  Å). Поскольку оба протона находятся в конусе отрицательного экранирования, сигнал  $\text{H}3'$  будет сдвигаться в слабое поле сильнее, чем сигнал  $\text{H}2'$ , что приведет к уменьшению  $\alpha$ . Наоборот, в  $\text{C}2'$ -*эндо*-конформации ( ${}^2E$ ) на аксиальной связи расположен  $\text{H}2'$ , на экваториальной —  $\text{H}3'$  (расстояние от атома  $\text{N}3$  в *син*-конформации до атомов  $\text{N}3'$  и  $\text{H}2'$  соответственно  $\sim 4,9$  и  $\sim 2,9$  Å). В этом случае должно наблюдаться увеличение  $\alpha$ . Кроме того, дезэкранирующее влияние шестичленного кольца пуринового основания больше, чем пятивалентного. Таким образом, для описания влияния конформации рибозного цикла и нуклеинового основания необходимо и достаточно четырех параметров, которые в порядке уменьшения их величины можно расположить в ряд:

$$\alpha^{\text{cS}} > \alpha^{\text{aS}} > \alpha^{\text{aN}} > \alpha^{\text{cN}},$$

где  $\text{cS}$ ,  $\text{aS}$ ,  $\text{aN}$  и  $\text{cN}$  — *син*- $\text{C}2'$ -*эндо*-, *анти*- $\text{C}2'$ -*эндо*-, *анти*- $\text{C}3'$ -*эндо*- и *син*- $\text{C}3'$ -*эндо*-конформации.

К сожалению, влияние оксиметильной группы нельзя оценить a priori. В связи с этим были исследованы три модели, в которых влияние эзоциклического заместителя описывали: а) одним параметром ( $\beta$ ), пропорциональным мольной доле *гош*<sup>+</sup>-конформации ( $p^g$ ); б) двумя параметрами  $\beta$  и  $\beta'$ , пропорциональными  $p^g$  и сумме мольных долей *транс*- и *гош*<sup>—</sup>-популяций ( $1-p^g$ ) соответственно; в) всеми шестью параметрами, соответствующими *гош*<sup>+</sup>- $\text{C}3'$ -*эндо*- $(\beta^{\text{N}^g+})$ , *гош*<sup>+</sup>- $\text{C}2'$ -*эндо*- $(\beta^{\text{S}^g+})$ , *гош*<sup>—</sup>- $\text{C}3'$ -*эндо*- $(\beta^{\text{N}^g-})$ , *гош*<sup>—</sup>- $\text{C}2'$ -*эндо*- $(\beta^{\text{S}^g-})$ , *транс*- $\text{C}3'$ -*эндо*- $(\beta^{\text{N}^{\text{tr}}})$  и *транс*- $\text{C}2'$ -*эндо*-конформации ( $\beta^{\text{S}^{\text{tr}}}$ ); основываясь на результатах квантовохимических расчетов [7], полагали  $\beta^{\text{N}^{\text{tr}}}=\beta^{\text{S}^{\text{tr}}}=0$ ,  $\beta^{\text{N}^g+}=\beta^{\text{N}^g-}$  и  $\beta^{\text{S}^g+}=-\beta^{\text{S}^g-}$ ; для простоты считали  $p^r=p^g$ , что является удовлетворительным приближением.

Анализ этих моделей показал, что наилучшим образом соответствует экспериментальным данным модель «б». В рамках этой модели экспериментально наблюдаемая разность химических сдвигов  $\text{H}2'$  и  $\text{H}3'$

$$\begin{aligned} \alpha = & \alpha^{\text{aN}} (1-p^c) (1-p^s) + \alpha^{\text{aS}} (1-p^c) p^s + \alpha^{\text{cN}} p^c (1-p^s) + \\ & + \alpha^{\text{cS}} p^c p^s + \beta p^g + \beta' (1-p^g), \end{aligned} \quad (1)$$

где параметры  $\alpha^i$  и  $\beta^i$  имеют смысл, определенный выше, а  $p^c$ ,  $p^s$  и  $p^e$  — мольные доли *син*-, *C2'-эндо*- и *гош<sup>+</sup>*-популяций соответственно.

Мольная доля *син*-популяции

$$p^c = \frac{\alpha - \alpha^{aN} - \beta' + (\alpha^{aN} - \alpha^{aS}) p^s + (\beta' - \beta) p^e}{p^s (\alpha^{aN} - \alpha^{aS} - \alpha^{cN} + \alpha^{cS}) - \alpha^{aN} + \alpha^{cN}}. \quad (2)$$

В приведенном выше обсуждении не рассмотрен вопрос о возможной взаимосвязи внутримолекулярных движений. Однако легко заметить, что уравнение (1) составлено в предположении отсутствия корреляции между конформациями отдельных частей молекулы. Как было показано нами ранее [3], такое приближение удовлетворительно описывает конформационное поведение пуриновых нуклеозидов в растворе.

Для определения параметров  $\alpha^{aN}$ ,  $\alpha^{aS}$ ,  $\alpha^{cN}$ ,  $\alpha^{cS}$ ,  $\beta$  и  $\beta'$  использовали следующие экспериментальные данные.

1. Аденозин:  $\alpha=0,36$  м.д.,  $p^s=0,63$ ,  $p^e=0,7$  [11, 14],  $p^c=0,48$  [3]. Подставляя в уравнение (1), получаем

$$0,36 = 0,185\alpha^{aN} + 0,315\alpha^{aS} + 0,185\alpha^{cN} + 0,315\alpha^{cS} + 0,7\beta + 0,3\beta'. \quad (3)$$

2. 8-трит-Бутилгуанозин:  $\alpha=0,89$  м.д.,  $p^s=0,65$ ,  $p^e=0,4$  [12]. Учитывая большой объем заместителя при C8,  $p^c$  полагали равной 1. Тогда из уравнения (1) получаем

$$0,89 = 0,35\alpha^{cN} + 0,65\alpha^{cS} + 0,4\beta + 0,6\beta'. \quad (4)$$

3. 8,4'-Ангидро-8-окси-9-(2-β-D-псикофуранозил)аденин:  $\alpha=0,36$  м.д.,  $p^s=0,44$ ,  $p^e=0,55$  \*. Это соединение представляет для нас особый интерес, поскольку, с одной стороны, конформационное поведение рибозного цикла сходно с поведением рибозы природных нуклеозидов, а с другой — нуклеиновое основание закреплено в *син*-конформации, т. е.  $p^c=1$ . Из уравнения (1) получаем

$$0,36 = 0,56\alpha^{cN} + 0,44\alpha^{cS} + 0,55\beta + 0,45\beta'. \quad (5)$$

4. (*S*)-8,5'-Ангидро-5'-оксиаденозин:  $\alpha=-0,18$  м.д. [12]. Для определения параметров, соответствующих *анти*-состоянию, заманчиво было бы использовать 8,5'-ангидроаденозины, основание которых закреплено в *анти*-конформации. Основная трудность заключается в том, что указанный ангидронуклеозид имеет необычную *E*-конформацию рибозы, в которой атомы H2' и H3' находятся на биссектральных связях в заслоненной конформации. Поскольку биссектральное положение является средним между аксиальным и экваториальным, такую конформацию рибозы в рамках принятой модели разумно аппроксимировать равновесием *C3'-эндо*- и *C2'-эндо*-популяций с константой, равной 1. Конфигурация 5'-оксиметиленовой группы соответствует *транс*-конформации CH<sub>2</sub>OH-группы природных нуклеозидов. Квантовохимические расчеты [7] показывают, что влияние спиртового кислорода в *транс*-конформации на химические сдвиги H2' и H3' достаточно мало и им разумно пренебречь. Тогда

$$-0,18 = 1/2\alpha^{aN} + 1/2\alpha^{aS}. \quad (6)$$

5. (*R*)-8,5'-Ангидро-5'-оксиаденозин:  $\alpha=0,46$  м.д. [12]. Учитывая аргументацию пункта 4 и тот факт, что конфигурация оксиметиленовой группы имитирует *гош<sup>+</sup>*-конформацию 5'-оксиметильной группы нуклеозидов, можно записать

$$0,46 = 1/2\alpha^{aN} + 1/2\alpha^{aS} + \beta'. \quad (7)$$

6. 2',3'-О-Этоксиметилен-3-бромаденозин:  $\alpha=0,11$  м.д.,  $p^e=1,0$ . Известно, что 2',3'-ацетильные производные пуриновых нуклеозидов в хлорформе образуют сильную O5'-H...N3 водородную связь, которая стабилизирует *син*-конформацию нуклеинового основания и *гош<sup>+</sup>*-конформацию оксиметильной группы [12]. Остается проблема модельного представления конформации рибозного цикла. Ранее нами было показано [15], что RCCB

\* В тех случаях, когда не указан литературный источник, анализ спектра ЯМР проведен в настоящей работе.

Эмпирически определенные параметры в сравнении  
с теоретическими значениями, полученными из квантово-химических  
расчетов [16]

Параметр	Эмпирическое значение, м. д.	Теоретическое значение *, м. д.	
		A **	B ***
$\alpha^{aN}$	-0,75	-0,59	-0,95
$\alpha^{aS}$	0,42	0,30	0,32
$\alpha^{cN}$	-0,75	-1,13	-1,90
$\alpha^{cS}$	1,20	0,66	1,20
$\beta$	-0,12		
$\beta'$	0,70		

\* Рассчитано для гликозидных углов  $\chi$  (C4—N9—C1'—O4') 80° (син) и 240° (анти).

\*\* Вклад колцевых токов аденина.

\*\*\* Сумма вкладов колцевых токов и диамагнитной анизотропии.

протонов рибозного цикла указанных соединений хорошо согласуются с моделью трех состояний — двух канонических (C2'-эндо и C3'-эндо), относительный вес которых невелик, и неканонического (O4'-экзо), которое является основным компонентом равновесия. Учитывая аргументацию пункта 4, разумно представить конформацию рибозы равновесием равных мольных долей N- и S-популяций, хотя в данном случае это будет более грубым приближением. Тогда

$$0,11 = \frac{1}{2}\alpha^{aN} + \frac{1}{2}\alpha^{cS} + \beta. \quad (8)$$

Решая совместно уравнения (3) — (8), получаем искомые параметры, которые в сравнении с теоретически ожидаемыми представлены в табл. 1.

Если учесть приближенный характер квантовохимических расчетов и определенный волюнтаризм в выборе величины гликозидного угла, то следует признать соответствие эмпирических величин теоретически ожидаемым очень хорошим.

Поскольку параметры  $\beta'$  представляют собой средневзвешенные величины, им нельзя поставить в соответствие какой-либо из теоретических параметров. Для проверки этих параметров можно использовать лишь экспериментальные данные.

Параметр  $\beta'$  был получен непосредственно из экспериментальных данных для (*R*)-8,5'-ангидро-5'-оксиаденозина (см. выше пункт 5). Удобной моделью для проверки параметра  $\beta$  может служить 8,5'-ангидро-8-оксиаденозин, адениновый цикл которого закреплен в анти-конформации, а ангидроцикл имитирует *go*<sup>+</sup>-конформацию оксиметильной группы. В рамках принятой модели для этого соединения

$$\alpha = \frac{1}{2}\alpha^{aN} + \frac{1}{2}\alpha^{aS} + \beta.$$

Подставляя параметры из табл. 1, получаем ожидаемую разность химических сдвигов H2' и H3'  $\alpha = -0,28$  м.д. Экспериментальная разность химических сдвигов (0,24 [12]) близка к вычисленной по абсолютной величине, но противоположна по знаку. Либо неверны рассчитанные нами параметры, либо в литературе укоренилось ошибочное соотнесение сигналов H2' и H3' 8,5'-ангидро-8-оксиаденозина. Для выяснения причин расхождения был проведен анализ спектра ЯМР указанного ангидронуклеозида. Как видно из рис. 1, соотнесение сигналов нельзя сделать тривиальными способами, поскольку ввиду малости констант  $J_{1'2'}$  и  $J_{3'4'}$  сигнал H1' представляет собой слегка уширенный синглет, а сигналы H2' и H3' — AB-квартет. С помощью двойного резонанса были определены КССВ H1' с A- и B-протонами; последующая симуляция позволила провести полный анализ спектра ЯМР. Оказалось, что  $J_{1'A}=0,2$ ,  $J_{1'B}=0,75$ ,  $J_{4'A}=0,8$  и  $J_{4'B}=0,3$  Гц. Поскольку КССВ через четыре ординарные связи при взаимном расположении

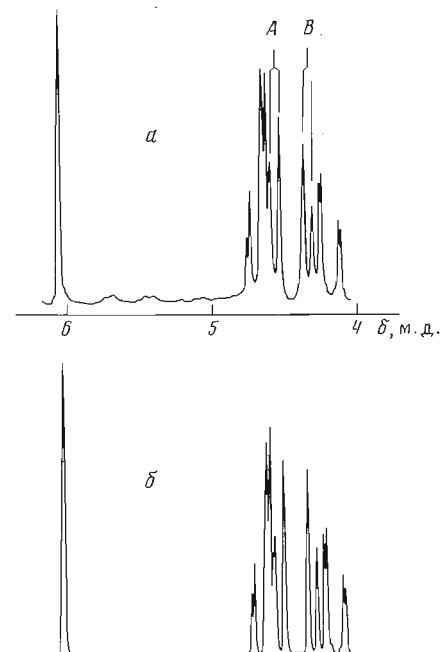


Рис. 1

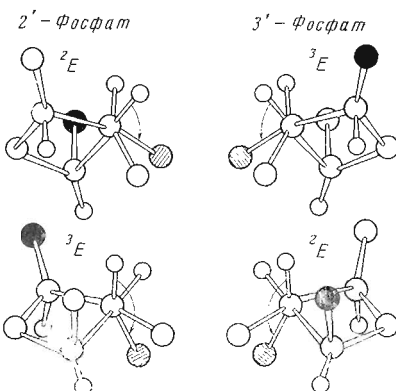


Рис. 3

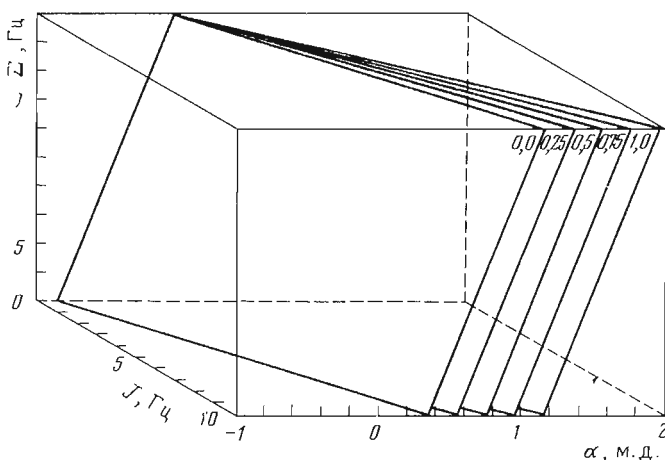


Рис. 2

Рис. 1. Экспериментальный (а) и симулированный (б) спектры ЯМР (область сигналов протонов рибозы) 8,5'-ангидро-8-оксизевозина ( $5 \cdot 10^{-2}$  М, 5%  $D_2O$  в  $DMSO-d_6$ ,  $39^\circ C$ )

Рис. 2. Изоконформационные плоскости в пространстве экспериментальных параметров

Рис. 3. Положение в пространстве атомов  $H2'$  и  $H3'$  относительно фосфатной группы в  $C2'$ -эндо-( $2E_3$ ) и  $C3'$ -эндо-конформациях ( $^3E_2$ ) рибозного цикла 2'- и 3'-нуклеотидов (зачернены атомы  $N9$ , заптрихованы атомы кислорода, соединенные с фосфатной группой)

жении протонов, определяемом конформацией рибозного цикла ( $^4T$  [15]), не может превышать 0,4 Гц [17], полученные данные позволяют однозначно отнести сигнал  $A$  к  $H3'$ , а сигнал  $B$  — к  $H2'$ . Таким образом, принятое до настоящего времени соотнесение действительно ошибочно, а разность химических сдвигов  $H2'$  и  $H3'$  равна  $-0,22$  м.д. Этот пример наглядно показывает предсказательные возможности предлагаемой модели.

**Формулы для расчета относительного веса *син*-популяции в растворе пуриновых нуклеозидов и нуклеотидов**

Тип соединения	Расчетная формула *
Нуклеозиды (общая формула)	$p^c = \frac{12,4\alpha + 13,7 - 1,5J - \Sigma}{J}$ (A)
2',3'-O-Ацетали	$p^c = 2,56\alpha + 1,32 - 0,2\Sigma$ (B)
5'-Дезоксинуклеозиды	$p^c = \frac{12,4\alpha - 1,5J}{J}$ (B)
5'-Нуклеотиды	$p^c = \frac{12,4\alpha + 5 - 1,5J + 0,08\Sigma}{J}$ (Г)
5'-Ди- и 5'-трифосфаты	$p^c = \frac{12,4\alpha + 6,75 - 1,5J + 0,07\Sigma}{J}$ (Д)
3'-Нуклеотиды	$p^c = \frac{12,4\alpha + 9,3 - \Sigma}{J}$ (Е)
2'-Нуклеотиды	$p^c = \frac{12,4\alpha + 3,8 - \Sigma}{J}$ (Ж)
2',3'-Циклофосфаты	$p^c = \frac{12,4\alpha + 13,7 - 1,5(J + 0,6) - \Sigma}{J + 0,6}$ (З)
3',5'-Циклофосфаты	$p^c = -2,7\alpha - 0,08$ (И)

\*  $\alpha = \delta\text{H}2' - \delta\text{H}3'$ , м. д.,  $J = J_{1',2'}$ , Гц,  $\Sigma = J_{4'5'} + J_{4'5''}$ , Гц.

Подставляя параметры из табл. 1 в уравнение 2, получаем формулу для расчета мольной доли *син*-популяции в растворе пуриновых нуклеозидов:

$$p^c = \frac{1,28\alpha + 0,07 - 1,5p^S + p^e}{p^S}. \quad (9)$$

Однако формула в мольных долях неудобна в практическом использовании, поскольку требует предварительного перевода экспериментальных параметров ЯМР в мольные доли *S*- и *гош+*-популяций. К тому же разные авторы пользуются несколько отличными способами расчета мольных долей. В связи с этим формула была преобразована к виду, включающему в себя лишь экспериментальные параметры  $\alpha$ ,  $J_{1',2'}(J)$  и  $J_{4',5'} + J_{4',5''}(\Sigma)$ , позволяющему определить относительный вес *син*-популяции непосредственно из спектра ЯМР, не прибегая к дополнительным процедурам (формула А в табл. 2).

Коротко проанализируем полученную формулу. Нетрудно видеть, что каждому значению  $p^c$  отвечает плоскость в пространстве экспериментальных параметров  $\alpha$ ,  $J$  и  $\Sigma$  (рис. 2). Множество изоконформационных плоскостей пересекается по одной прямой, причем значения параметров, соответствующие этой прямой ( $\alpha = -0,36 + 0,08k$  м.д.,  $J = 0$  Гц и  $\Sigma = 3 + k$  Гц, где  $0 \leq k \leq 10$ ), составляют область неопределенных решений. При точности измерения  $\alpha = 0,01$  м.д., а  $J$  и  $\Sigma = 0,1$  Гц ошибка рассчитанной величины  $p^c$  составляет  $\pm 0,04$ .

Результаты применения формулы А к ряду пуриновых нуклеозидов представлены в табл. 3.

Важным достоинством обсуждаемого подхода является возможность распространения модели на широкий круг пуриновых нуклеозидов и нуклеотидов, причем модификация основной формулы 9 не требует перерасчета параметров  $\alpha^i$ , а производится путем простых и логичных действий.

*2',3'-O-Ацетальные производные нуклеозидов.* Как уже указывалось в рамках принятой модели, конформацию рибозного цикла 2',3'-O-аце-

Таблица 3

Экспериментальные значения параметров ЯМР и рассчитанные относительные веса син-популяции в растворе пуриновых нуклеозидов и нуклеотидов

Тип соединения (расчетная формула) *	Соединение	Параметры ЯМР **						Мольная доля син-попу- ляции
		Раство- ритель	Тем- пе- ра- тура, °C	α, м.д.	J, Гц	Σ, Гц	Ссыль- ка	
Нуклеозиды (A)	Ado	D <sub>2</sub> O	+25	0,36	6,1	6,0	[11]	0,49
		DMSO-d <sub>6</sub>	+25	0,45	6,5	6,6	[11]	0,45
		ND <sub>3</sub>	+40	0,29	5,0	6,9	[18]	0,58
			-60	0,27	5,1	6,8	[18]	0,51
	Ino	DMSO-d <sub>6</sub>	+25	0,35	5,7	7,3	[12]	0,38
		ND <sub>3</sub>	+40	0,37	5,5	6,5	[18]	0,64
			-60	0,31	5,6	6,3	[18]	0,51
	Guo	DMSO-d <sub>6</sub>	+25	0,30	6,3	6,5	[12]	0,23
		ND <sub>3</sub>	+40	0,30	5,7	6,3	[18]	0,45
			-60	0,23	5,6	6,1	[18]	0,37
	Xan	ND <sub>3</sub>	+40	0,30	5,9	6,2	[18]	0,40
			-60	0,20	5,7	6,0	[18]	0,29
2',3'-О-Ацетали (B)	9-(β-D-Рибофуранозил) пурина	ND <sub>3</sub>	+40	0,31	5,1	7,0	[18]	0,57
			-60	0,33	5,0	6,7	[18]	0,72
	9-(β-D-Рибофуранозил)-2-амино-пурина	ND <sub>3</sub>	+40	0,27	5,3	7,1	[18]	0,38
			-60	0,27	5,6	7,1	[18]	0,28
	8-Бром-Ado	D <sub>2</sub> O	+25	0,56	7,2	5,1	[12]	0,66
		ND <sub>3</sub>	+40	0,91	6,8	9,0	[18]	0,85
			-60	1,07	7,4	11,0	[18]	0,66
	8-Бром-Guo	ND <sub>3</sub>	+40	0,84	7,1	6,8	[18]	0,94
			-60	0,88	7,8	6,6	[18]	0,81
	8-(α-Оксизопропил)-Ado	DMSO-d <sub>6</sub>	+25	0,76	7,1	6,5	[11]	0,84
		D <sub>2</sub> O	+25	0,61	7,5	5,5	[11]	0,60
5'-Дезокси- нуклеозиды (B)	8-Сульфо-Ado	D <sub>2</sub> O	+39	0,55	5,9	6,5	***	0,88
		DMSO-d <sub>6</sub>	+25	0,89	6,3	9,0	[12]	1,00
	Формицин	ND <sub>3</sub>	+40	0,38	6,9	6,2	[18]	0,27
			-60	0,39	8,2	5,9	[18]	0,04
	8,1'-Ангидро-8-окси-9-(2-β-D-пикофоранозил)аденин	DMSO-d <sub>6</sub>	+39	0,36	4,3	7,5	***	0,98
	2',3'-О-Изопропилиден-Ado	DMSO-d <sub>6</sub>	+25	0,37	-	9,0	[11]	0,47
		CDCl <sub>3</sub>	+25	0,40	-	3,0	[11]	0,98
	2',3'-О-Изопропилиден-8-(α-оксизопропил)-Ado	DMSO-d <sub>6</sub>	+25	0,38	-	8,8	[11]	0,53
5'-Нуклеотиды (Г)	2',3'-О-Этоксиметилен-Ado	DMSO-d <sub>6</sub>	+39	0,41	-	8,6	***	0,65
		DMSO-d <sub>6</sub>	+39	0,71	-	11,4	***	0,86
		CDCl <sub>3</sub>	+39	0,41	-	3,0	***	1,00
	2',3'-О-n-Метоксибензилиден-8-сульфо-Ado	D <sub>2</sub> O	+39	0,40	-	7,1	***	0,92
	5'-Дезокси-Ado	D <sub>2</sub> O	+60	0,59	4,8	-	[19]	0,02
			+40	0,57	4,8	-	[19]	-0,03
		ND <sub>3</sub>	+40	0,64	4,1	-	[19]	0,44
			-60	0,69	4,8	-	[19]	0,28
	5'-Дезокси-8-бром-Ado	D <sub>2</sub> O	+60	0,91	5,2	-	[19]	0,67
			+10	0,90	5,3	-	[19]	0,61
5'-Нуклеотиды (Г)	5'-AMP	D <sub>2</sub> O	+25	0,26	5,8	6,5	[12]	0,01
	5'-GMP	D <sub>2</sub> O	+25	0,26	5,8	7,0	[12]	0,01
	8-трет-Бутил-5'-GMP	D <sub>2</sub> O	+25	0,69	6,3	10,8	[12]	0,79

Таблица 3 (окончание)

Тип соединения (расчетная формула) *	Соединение	Параметры ЯМР **						Молиб- дона- сигналь- ной группы или ионий
		Раство- ритель	Тем- пе- ра- тура, °C	$\alpha_i$ м.д.	$J$ , Гц	$\Sigma$ , Гц	Ссыл- ка	
<i>5'-Ди- и 5'-трифосфа- ты (Д)</i>	8-Бром-5'-AMP	D <sub>2</sub> O	+25	0,68	6,1	10,9	[12]	0,84
	8-( $\alpha$ -Оксизопро- пил)-5'-AMP	D <sub>2</sub> O	+25	0,61	5,9	10,5	[12]	0,77
	8-Метилтио-5'- AMP	D <sub>2</sub> O	+30	0,55	6,2	10,8	[20]	0,55
	8-Сульфо-5'-AMP	D <sub>2</sub> O	+39	0,72	5,9	11,0	***	1,01
	5'-ATP	D <sub>2</sub> O	+30	0,18	5,7	6,1	[21]	-0,01
	5'-GTP	D <sub>2</sub> O	+30	0,15	5,3	6,3	[21]	-0,04
	8-Сульфо-5'-ATP	D <sub>2</sub> O	+39	0,71	5,7	10,0	***	0,99
	3'-AMP	D <sub>2</sub> O	+20	0,10	6,3	6,0	[22]	0,72
	3'-GMP	D <sub>2</sub> O	+20	0,05	5,2	6,6	[22]	0,64
	8-Бром-3'-AMP	D <sub>2</sub> O	+39	0,32	6,6	6,8	***	0,98
<i>3'-Нуклеотиды (Е)</i>	8-Сульфо-3'-AMP	D <sub>2</sub> O	+39	0,36	6,8	7,0	***	0,99
	2'-AMP	D <sub>2</sub> O	+20	0,46	6,0	6,2	[22]	0,55
	2'-GMP	D <sub>2</sub> O	+20	0,52	5,2	7,1	[22]	0,61
<i>2',3'-Цикло- нуклеотиды (З)</i>	8-Бром-2'-AMP	D <sub>2</sub> O	+39	0,68	7,1	6,5	***	0,81
	2',3'-AMP	D <sub>2</sub> O	+30	0,22	4,4	7,3	[23]	0,33
	2',3'-GMP	D <sub>2</sub> O	+30	0,24	3,7	8,4	[23]	0,47
<i>3',5'-Цикло- нуклеотиды (И)</i>	8-Сульфо-2',3'- AMP	D <sub>2</sub> O	+39	0,42	3,6	8,4	***	1,00
	3',5'-AMP	D <sub>2</sub> O	+23	-0,03	--	--	[24]	0,00
	3',5'-GMP	D <sub>2</sub> O	+23	-0,03	--	--	[24]	0,00
	8-Бром-3',5'-AMP	D <sub>2</sub> O	+39	-0,25	--	--	***	0,59
	8-Сульфо-3',5'- AMP	D <sub>2</sub> O	+39	-0,40	--	--	***	1,00

\* См. табл. 2.

\*\* $\alpha = \delta H_2' - \delta H_3'$ ,  $J = J_{1'2'}$ ,  $\Sigma = J_{4'5'} + J_{4'6'}$ .

\*\*\* Анализ спектра проведен в настоящей работе.

тальных производных нуклеозидов аппроксимировали равновесием эквимолярных количеств C2'-эндо- и C3'-эндо-популяций. Подставляя в формулу 9  $p^s=0,5$ , получаем формулу **Б** (табл. 2). В табл. 3 приведены рассчитанные по этой формуле относительные веса син-популяции в растворе 2',3'-ацетальных производных нуклеозидов.

*5'-Дезоксинуклеозиды.* В идеале формула для 5'-дезоксинуклеозидов должна автоматически получаться, если  $\beta$  и  $\beta'$  приравнять нулю. На самом деле это не так вследствие упрощающих приближений, введенных нами при описании влияния 5'-CH<sub>2</sub>OH-группы на химические сдвиги H2' и H3'. Отличие используемой модели от «идеальной» можно учесть, заменив параметры  $\beta$  и  $\beta'$  одним параметром  $\beta^0$ . Формула для расчета син-популяции в растворе 5'-дезоксинуклеозидов, приведенная в табл. 2 (получена при  $\beta^0=0,75$  м.д.), наилучшим образом описывает экспериментальные данные (см. табл. 3).

*5'-Нуклеотиды.* Очевидно, что замещение по 5'-гидроксилу не скажется на параметрах  $\alpha^i$ , но существенно изменит параметры  $\beta^i$ . Для вычисления этих параметров использовали спектры ЯМР 5'-AMP ( $\alpha=0,26$  м.д.,  $p^s=0,61$ ,  $p^e=0,65$  [12],  $p^c=0,0$  [3]) и 8-сульфо-5'-AMP ( $\alpha=0,72$  м.д.,  $p^s=0,60$ ,  $p^e=0,20$ ,  $p^c=1,0$ ). Параметры  $\beta_5$  и  $\beta'_5$  оказались равными 0,33 и 0,27 м.д. соответственно. Подстановка этих величин в уравнение 2 дает формулу **Г** в табл. 2. Рассчитанные по формуле **Г** относительные веса син-популяции приведены в табл. 3.

Конформационное поведение 5'-ди- и трифосфатов удовлетворительно описывается (см. табл. 3) параметрами  $\beta_5$  и  $\beta_{5'}$ , равными 0,23 и 0,29 м.д. Расчетная формула **Д** приведена в табл. 2.

**3'-Нуклеотиды и 2'-нуклеотиды.** По сравнению с нуклеозидами в 3'-нуклеотидах появляется новый фактор — анизотропия фосфатной группы. Влияние фосфатной группы на химический сдвиг  $\text{H}3'$  определяется в основном величиной валентного угла  $\text{H}3'-\text{C}3'-\text{O}3'$  и, следовательно, слабо зависит от конформации рибозного цикла (для простоты мы будем пренебрегать этой зависимостью). В противоположность этому влияние фосфатной группы на химический сдвиг  $\text{H}2'$  определяется конформацией рибозы. Оно максимально в  $\text{C}3'$ -эндо-конформации ( $\text{H}2'$  и  $\text{O}3'$  находятся на экваториальных связях, двугранный угол  $\text{H}2'-\text{C}2'-\text{C}3'-\text{O}3' \sim 80^\circ$ ) и минимально в  $\text{C}2'$ -эндо-конформации (оба заместителя на аксиальных связях, двугранный угол  $\sim 160^\circ$ ). Таким образом, изменение разности химических сдвигов  $\text{H}2'$  и  $\text{H}3'$  в 3'-нуклеотидах при конформационных превращениях рибозного цикла определяется только сдвигом сигнала  $\text{H}2'$ . Логично описать влияние 3'-фосфатной группы параметрами  $\gamma_3^N$  и  $\gamma_3^S$ , соответствующими  $\text{C}3'$ -эндо- и  $\text{C}2'$ -эндо-конформациям рибозы. В то же время параметры  $\alpha^i$  и  $\beta^i$  не должны изменяться при этерификации гидроксила. Тогда модификация модели сводится к введению члена  $[\gamma_3^N(1-p^S) + \gamma_3^S p^S]$  в правую часть уравнения 1.

Из общих стереохимических соображений можно записать следующие соотношения между параметрами, описывающими влияние 3'- и 2'-фосфата на разность химических сдвигов  $\text{H}2'$  и  $\text{H}3'$ :

$$\gamma_3^N = -\gamma_2^S \text{ и } \gamma_3^S = -\gamma_2^N,$$

где подстрочные цифры указывают место присоединения фосфатной группы. Действительно, как было показано выше, изменение разности химических сдвигов при  $N-S$ -взаимопревращениях рибозного цикла 3'-фосфатов определяется сдвигом сигнала  $\text{H}2'$ ; естественно, что в случае 2'-фосфатов определяющим будет положение сигнала  $\text{H}3'$ . Очевидно также, что одипаковые по величине и направлению смещения сигналов  $\text{H}2'$  и  $\text{H}3'$  вызовут одипаковое по величине, но противоположное по знаку изменение разности химических сдвигов  $\text{H}2'$  и  $\text{H}3'$ . Как видно из рис. 3, положение  $\text{H}2'$  и  $\text{H}3'$  относительно фосфатной группы практически одинаково в  $\text{C}3'$ -эндо-конформации 3'- и  $\text{C}2'$ -эндо-конформации 2'-нуклеотидов, что должно привести к одинаковому по величине, но противоположному по знаку изменению  $\delta\text{H}2' - \delta\text{H}3'$ . Аналогичные соотношения верны и для двух других конформаций (рис. 3). Для расчета параметров  $\gamma_3^N$  и  $\gamma_3^S$  были использованы экспериментальные данные для 3'-AMP ( $\alpha=0,1$  м.д.,  $p^S=0,65$ ,  $p^e=0,7$  [22] и  $p^c=0,7$  [25]) и 2'-AMP ( $\alpha=0,46$  м.д.,  $p^S=0,62$ ,  $p^e=0,68$  [22] и  $p^c=0,6$  [25]). Параметры  $\gamma_3^N$  и  $\gamma_3^S$  оказались равными 0,37 и -0,80 м.д. соответственно. Расчетные формулы **Е** и **Ж** приведены в табл. 2, а рассчитанные по ним мольные доли син-популяции — в табл. 3.

**2',3'-Циклофосфаты.** Поскольку в циклофосфатах фосфатный остаток непосредственно соединен и с  $\text{O}2'$  и с  $\text{O}3'$ , влияние фосфатной группы на химический сдвиг  $\text{H}2'$  и  $\text{H}3'$  одинаково и не зависит от конформации рибозного цикла. Таким образом, конформационное поведение 2',3'-циклофосфатов должно описываться общей формулой **А** (табл. 2). Но поскольку конформации рибозного цикла в циклофосфатах и природных нуклеотидах существенно различаются, возникает проблема адаптации модели к реальной геометрии молекулы. Как показывает проведенный недавно в работе [26] тщательный анализ конформации рибозного цикла 2',3'-циклофосфатов, такая адаптация может быть осуществлена простым увеличением

нием экспериментально наблюдаемых КССВ  $J_{1'2'}$  на 0,6 Гц. Расчет по модифицированной таким образом формуле  $A$  (формула  $Z$  в табл. 2) приводит к удовлетворительным результатам (табл. 3), что еще раз подтверждает адекватность использованной модели.

**3',5'-Циклофосфаты.** Эти соединения обладают жесткой  $\frac{3}{4}T$ -конформацией сахара, которую нельзя адаптировать к принятой нами модели. Однако именно ввиду конформационной жесткости разность химических сдвигов  $H2'$  и  $H3'$  зависит только от положения *син-анти*-равновесия. Известно, что аденоzin-3',5'-циклофосфат ( $\alpha = -0,03$  м.д.) [24] существует в *анти*-конформации [27]. Учитывая, что 8-сульфо-3',5'-АМР ( $\alpha = -0,40$  м.д.) вследствие электростатического отталкивания отрицательно заряженных фосфатной и сульфогрупп существует в *син*-конформации, нетрудно получить формулу  $U$  (табл. 2) для расчета относительного веса *син*-популяции в растворе 3',5'-циклофосфатов (табл. 3).

### Экспериментальная часть

Спектры ЯМР сняты на приборе XL-100 (Varian, США). Симуляцию спектров проводили по стандартной программе.

8,1'-Ангидро-8-окси-9-(2- $\beta$ -D-псикофуранозил)аденин получили по описанному ранее методу [28], 8-сульфоаденоzin, 2',3'-O-n-метоксибензилиден-8-сульфоаденоzin, 2', 3' и 5'-фосфаты 8-сульфоаденоzина, 8-сульфоаденоzin-2',3'-циклофосфат, 8-сульфоаденоzin-3',5'-циклофосфат, 8-бромаденоzin-2' и 3'-фосфаты — по методу [13], 8,5'-ангидро-8-оксиаденоzin — по методу [15].

Образцы для съемки спектров ЯМР готовили как описано в работе [3].

Авторы благодарят М. Ю. Покровскую и С. В. Мешкова за помощь при съемке и симуляции спектров ЯМР.

### ЛИТЕРАТУРА

1. Флорентьев В. Л. В кн.: Итоги науки и техники. Молекулярная биология. Изд-ВНИТИ, 1976, т. 8, ч. 1, с. 162–229.
2. Davies D. B. Prog. Nucl. Magn. Reson. Spectrosc., 1978, v. 12, № 1, p. 135–225.
3. Бобрускин И. Д., Кирпичников М. П., Покровская М. Ю., Флорентьев В. Л. Биоорганическая химия, 1980, т. 6, № 8, с. 1163–1181.
4. Карпейский М. Я., Яковлев Г. И. Биоорганическая химия, 1975, т. 1, № 4, с. 749–757.
5. Geraldes C. F. G. C., Williams R. J. P. Eur. J. Biochem., 1978, v. 85, № 3, p. 749–757.
6. Prado F. R., Giessner-Prettre C., Pullman B. J. Theor. Biol., 1978, v. 74, № 2, p. 259–277.
7. Giessner-Prettre C., Pullman B. In: Nuclear magnetic resonance spectroscopy in molecular biology / Ed. Pullman B. Dedrecht: Reidel Pub. Co., 1978, p. 161–181.
8. Jardetsky C. D. J. Amer. Chem. Soc., 1960, v. 84, № 1, p. 62–66.
9. Schweizer M. P., Robins R. K. In: Conformations of biological molecules and polymers / Eds Bergmann E. D., Pullman B. Acad. Press, 1973, p. 329–347.
10. Jordan F., Niv H. Biochim. et biophys. acta, 1977, v. 476, № 1, p. 265–271.
11. Dudycz L., Stolarski R., Pless R., Shugar D. Z. Naturforsch., 1979, B, 34c, № 2, S. 359–373.
12. Stolarski R., Dudycz L., Shugar D. Eur. J. Biochem., 1980, v. 108, № 1, p. 111–121.
13. Завгородний С. Г., Цилевич Т. Л., Флорентьев В. Л. Биоорганическая химия, 1984, т. 10, № 10, с. 1371–1375.
14. Lee C.-H., Sarma R. H. J. Amer. Chem. Soc., 1976, v. 98, № 12, p. 3541–3548.
15. Завгородний С. Г., Гнучев Н. В., Готтих Б. И., Далянина Н. В., Флорентьев В. Л. Биоорганическая химия, 1984, т. 10, № 5, с. 681–695.
16. Giessner-Prettre C., Pullman B. J. Theor. Biol., 1977, v. 65, № 1, p. 189–201.
17. Schleich T., Lusebrink T., Gross B. P., Johnson N. P. Nucl. Acids Res., 1975, v. 2, № 2, p. 459–469.
18. Westhof E., Plach H., Cuno I., Lüdemann H.-D. Z. Naturforsch., 1975, B, 30c, № 1, S. 131–140.
19. Westhof E., Plach H., Cuno I., Lüdemann H.-D. Nucl. Acids Res., 1977, v. 4, № 4, p. 939–953.
20. Sarma R. H., Lee C.-H., Evans F. E., Yathindra N., Sundaralingam M. J. Amer. Chem. Soc., 1974, v. 96, № 24, p. 7337–7342.
21. Son T.-D., Chachaty C. Biochim. et biophys. acta, 1977, v. 500, № 2, p. 405–418.
22. Davies D. B., Danyluk S. S. Biochemistry, 1975, v. 14, № 3, p. 543–553.
23. Lapper R. D., Smith I. P. C. J. Amer. Chem. Soc., 1973, v. 95, № 9, p. 2880–2884.
24. Lee C.-H., Sarma R. H. J. Amer. Chem. Soc., 1976, v. 98, № 11, p. 3541–3548.

25. Gueron M., Chachaty C., Tran-Dinch S. Ann. N. Y. Acad. Sci., 1973, v. 222, № 2, p. 307–316.
26. Davies D. B., Sadikot H. J. Chem. Soc. Perkin Trans. II, 1983, № 8, p. 1251–1258.
27. Бобрускин И. Д., Гулаков Н. Н., Кирничников М. П., Северин Е. С., Туницкая В. А., Флорентьев В. Л. Молекулярная биология, 1979, т. 13, № 4, с. 118–128.
28. Zavgorodny S. G. Tetrahedron Lett., 1981, v. 22, № 31, p. 3003–3007.

Поступила в редакцию  
9.I.1984

## A NOVEL METHOD FOR QUANTIFYING THE *syn-anti* EQUILIBRIUM FOR PURINE NUCLEOSIDES AND NUCLEOTIDES IN SOLUTION

ZAVGORODNY S. G., FLORENTIEV V. L.

*Institute of Molecular Biology, Academy of Sciences  
of the USSR, Moscow*

A facile procedure for estimation of the relative contribution from the *syn*-population in the solutions of purine nucleosides and nucleotides has been proposed. It utilizes the following three parameters of the NMR spectra: the difference of H<sub>2'</sub> and H<sub>3'</sub> chemical shifts, coupling constant  $J_{1'2'}$ , and the sum of  $J_{4'5'a}$  and  $J_{4'5'b}$  coupling constants. The method is applicable to purine nucleosides, 5'-deoxynucleosides, 5', 2'- and 3'-nucleotides, as well as to 3', 5'- and 2', 3'-cyclophosphates containing either naturally occurring nucleic bases or those modified at 2,6 and 8 positions.